

東京大学大学院 学生員 ○橋本 親典
 ノ 上 将人
 アジア工科大学大学院 田中 直樹

1. まえがき

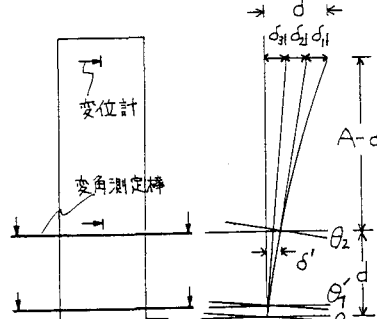
RC橋脚の耐震設計における耐震性能を考慮する場合、最も重要なことは橋脚がより一定耐力（降伏耐力）以上を維持しながら变形がどこまで進むか（終局変位）を定量化することである。本研究は、矢端変位を性質の異なる3つの変位成分に分解し、終局変位に最も影響を与える軸下部の塑性域変位に着目し、その塑性域変位の終局状態の定量化を目的としたものである。

2. 変位分解による各成分の定義

変位分解の概念図及び測定方法を図-1に示す。

$$\left\{ \begin{array}{l} \delta_1; \text{軸上部の塑性域変位}, \delta_1 = \delta - \delta' + \theta_2(A-d) \\ \delta_2; \text{軸下部(有効高さ } d') \text{ の領域)塑性域変位}, \delta_2 = \delta - (\delta_1 + \delta_3) \\ \delta_3; \text{フーチングかくの鉄筋の引き抜けによる変位}, \delta_3 = \theta_1 A \end{array} \right.$$

ただし、実験値としては δ' を測定する為, $\delta'_1 = \theta_1 A$, $\delta'_2 = \delta - (\delta_1 + \delta'_3)$



3. 実験概要

本実験供試体(H-1, H-2, U-0, U-1, U-2)の概要は、表-2に既往の実験例と合わせて示す。実験の詳細は、参考文献2に示す。

4. 実験結果及び考察

図-2に、H-2, U-0供試体の終局に至るまでの各変位の増加傾向を示す。これより、終局に進むにつれて δ'_2 は δ'_3 に比べて全変位量に対する割合が増加する事がわかる。よって終局変位に最も影響を与える変位成分は δ'_2 といえる。次に、表-1に全体変位に対する各変位の割合の実験値と解析値を示す。終局手前変位で比較しているのは、終局時変位は荷重方向によって差が生じ正確に測定できなく、また終局時には曲げ理論は成立しないと考えられる。したがって、終局時変位の比率は、終局手前時変位の比率に依存していることと考えられる。

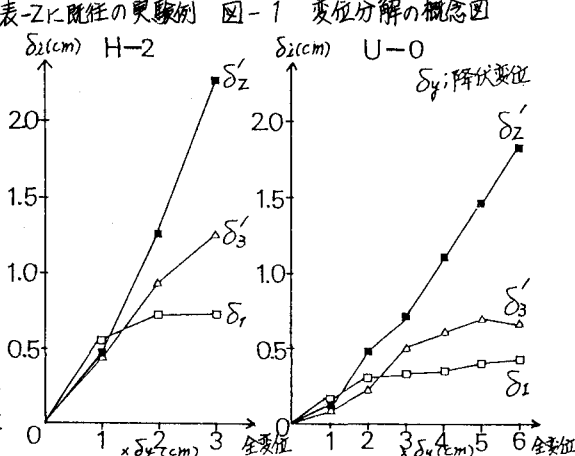


図-2 変位成分別包絡線図(正方向載荷側)

表-1 δ'_3 の実験値と解析値との比較 ($\delta'_3 / \delta \times 100$)

供試体	剛性率	降伏時 (%)		終局手前時 (%)	
		実験値	解析値	実験値	解析値
H-1	4	34.7	26.6	13.5	58.5
H-2	3	31.8	28.0	30.4	48.8
U-0	6	27.3	20.5	29.4	35.9
U-1	4	30.8	37.8	47.9	41.9
U-2	9	26.2	37.5	50.9	41.1

4. 1 解析方法

δ_1 , δ_2 には曲げ理論を、 δ_3 には局部付着应力-滑りモデル(周モデル)³⁾を用いた。ただし、 δ_2 については、軸下部のコンクリート圧縮縫歪が 0.6% を越える場合、図-3に示すような曲率一定の塑性領域 l を仮定した。

4. 2 解析値と実験値との比較

表-1において、終局手前時で誤差が大きくなった理由 (注) 終局手前時とは U-1(μ: 剛性率)での変位を意味する。

由は、実際の曲率分布が曲げ理論で解析したものとは完全には一致しなか、たゞし、及び塑性領域の仮定方法に問題がある。たゞしなどがあらわす。また、H-1が特に差異生じるのは、角めがびわれが早い時期(2δ₂前)に発生した為と考えられる。

しかし、以上の解析方法により、天端変位を3成分に分解し、δ₂を分離する事がある程度可能となった。

5. 跳往の実験例への適用

終局まで載荷が行われた跳往の実験例⁴⁾(14体、Z体は破壊せず)について、この解析方法を用いて、終局時天端変位の分解を行った。跳往の実験例の供試体既定と変位分解結果を、表-2に示す。図-3 塑性領域の仮定概念図

R.C.橋脚の破壊には次の3つのモードが組合せで生じるものと考える。1)曲げ型、2)せん断型、3)付着剥離型(つまり、1)から2)へ、あるいは、2)から3)へと破壊機構が遷移しながら終局状態に至ると考えられる。そこで、せん断耐力T_{cs}と曲げ最大耐力T_uの比(T_{cs}/T_u)と、δ₂の限界を求めた。図-4に、δ₂/aとT_{cs}/T_uの関係を示す。これより、δ₂/aとT_{cs}/T_uには強い相関性があるといえる。ただし、T_{cs}は、岡村・検見の梁のせん断耐力に45°トフス理論を加えたものである。また、これは、コンクリートの圧縮強度が0.35%になる時の耐力である。U-0, U-2でのT_{cs}には、側方鉄筋の効果を入れていないため、グラフ上の直線から離れていくが、側方鉄筋によるせん断耐力の上昇を考慮すると直線上に近づくものと考えられる。

6. 結論

終局変位に最も影響を与える変位は、軸下部の塑性域変位δ₂であることが明らかになった。また、天端終局変位を3成分に分解する方法を提案し、跳往の実験例に適用し、δ₂の塑性能力とT_{cs}/T_uの相関性を示した。

なお、本研究に対し昭和57年度科学研究所費補助金が授与されました。ここに深く謝意を表します。

(参考文献)

- 1) Reinforced Concrete Structures. by R.PARK & T.PAULAY
- 2) 楠上、橋本、岡山、山尾「鋼筋の初期載荷を受けるR.C.橋脚の変位分解に関する研究」、第3回土木学会年次講習会、SS8
- 3) 岡山、尾、岡村「定着長が長い場合の局所附着耐力-骨格関係について」、第5回コンクリート工学年次講習会、SS8
- 4) 田中他「鉄筋コンクリート橋脚モデルの解説と実験」、土木会議文集、1979年；検見「曲げ降伏後におけるRC構材のせん断破壊」、1981年；秋元他「高応力練習荷重を受けるRC橋脚の耐力に關する基礎的実験」、第29回土木学会年次講習会、S49

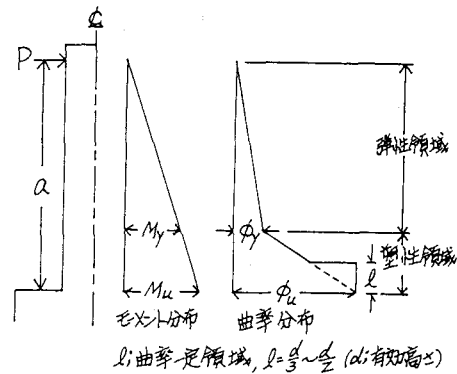


表-2 跳往の実験例(14体)+本実験(5体)の供試体概要と変位解析結果

No.	a/cm	%P _t	%P _w	f _c /kg/cm ²	T _c /kg/cm ²	T _u /kg/cm ²	cm	cm	cm	cm	cm
							δ _全	δ ₁	δ ₂	δ ₃	
1	140	0.82	0.16	29.2	3.5	8.4	4.7	0.26	2.16	2.34	
2	100	0.80	0	32.4	9.2	6.6	1.4	0.19	0.56	0.65	
3	100	1.00	0	33.4	1.02	8.8	0.97	0.22	0.38	0.36	
4	100	0.80	0.40	34.6	19.1	6.6	4.2	0.15	2.3	1.7	
5	100	0.80	0.20	31.9	14.1	6.6	2.7	0.12	1.3	1.3	
6	100	0.80	0.10	31.6	11.6	6.6	2.6	0.16	1.3	1.1	
7	100	1.00	0.30	32.0	17.2	8.8	2.9	0.17	1.4	1.3	
8	100	1.00	0.20	29.6	14.6	8.8	2.6	0.18	1.3	1.1	
9	100	1.00	0.10	33.8	12.6	8.8	2.0	0.22	0.73	1.0	
10	163	0.680	0	169	6.2	5.7	2.8	0.64	1.01	0.95	
11	163	0.340	0	169	4.9	3.5	3.8	0.93	1.3	1.6	
12	163	0.170	0	48.2	5.7	2.6	5.7	0.91	2.5	2.4	
13	163	0.680	0	48.2	8.7	6.1	3.7	0.58	1.6	1.5	
14	140	0.820	0.16	300	12.4	7.0	4.5	0.26	2.5	1.8	
H-1	160	0.540	0	190	5.90	4.4	3.49	0.40	1.35	1.74	
H-2	160	0.950	0	270	8.18	5.5	4.29	1.01	1.64	1.64	
U-0	80	1.650	0	510	14.4	12	2.56	0.33	1.53	0.70	
U-1	80	0.750	0	330	9.66	5.0	1.88	0.20	1.11	0.57	
U-2	80	0.910	0	330	10.365	4.22	2.07	2.68	1.27		

a: スパン長 P_t: 鉄筋比 P_w: 帶鉄筋比 f_c: コンクリート強度
a/b: No.1~9, 14が4, No.10~13が5.82, H-1が4.57

H-2が6.4, U-0が5.19, U-1が4.71, U-2が5.71

ただし、U-0, U-2は鉄筋の重心の位置との有効高さ d を用いる。

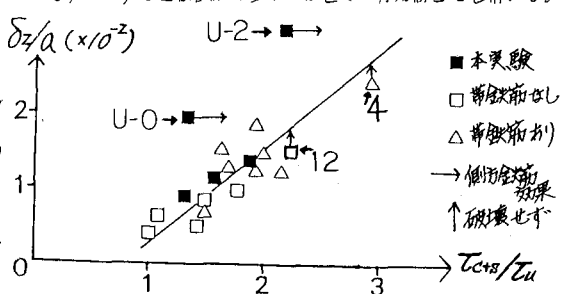


図-4 δ₂/a と T_{cs}/T_u の関係